链接:www.china-nengyuan.com/tech/95484.html

来源:新能源网 china-nengyuan.com

活性炭纤维电极超级电容器的研制

阮殿波^{1,2,3},王成扬²,王晓峰³

(1.北京集星联合电子科技有限公司,北京102628; 2.天津大学化工学院,天津300072; 3.清华大学精密仪器与机械学系,北京100084)

摘要:对粘胶纤维布进行碳化、活化及喷涂铝工艺处理,制备活性炭纤维电极,并组装了超级电容器。直流放电、温度环境特性和循环性能测试结果表明,该电容器的峰值比功率为7.23kW/kg,比能量为4.22Wh/kg,直流内阻仅为016m,低温-40e时的内阻为1.2m,在-40~70e的电容变化率小于24%,具有良好的高低温工作特性。高温加速寿命1008h测试后,电容衰减10%,内阻升高60%;以25A的电流在2.70~1.35V循环50000次,电容衰减10%,内阻增加30%。

研制性能优良的活性炭电极材料是提高超级电容器性能的关键因素。活性炭纤维(ACF)为柔性的材料,制作的超级电容器极板工艺可操作性强,ACF特殊的纳米孔径微观结构,可保证超级电容器具有更好的性能。

活性炭

纤维布是一种传统

的环保吸附性材料,但目前市场上成

熟技术的ACF材料的比表面积一般在1300m²

/g左右,C元素含量一般低于90%,P、O元素含量高,导电性差,从而影响超级电容器的性能指标与寿命,不适合作为商用超级电容器的电极材料。本文作者拟对粘胶纤维布进行优化的碳化、活化与喷涂铝工艺处理,以求制备C元素含量高,P、O元素含量低的高性能ACF电极,并试图通过喷涂铝的工艺来降低超级电容器的内阻。

1实验

1.1ACF材料的制备

用EJK409-30纤维纺纱机(上海产)将粘胶纤维(丹东产,99%)纺成直径为300Lm线,再在GA747剑杆织布机(广东产)上织成幅宽2m、面密度490g/m²的粘胶纤维布。

将粘胶纤维布在5%磷酸氢铵(北京产,CP)中浸泡24h,再用HZH2200蒸汽烘干炉(江苏产)烘干。烘干后的原料用SPS-L低温预氧化炉(北京产)在300e时进行预氧化处理,速度为4m/min。预氧化后的原料在SPS-H高温碳化、活化炉(北京产)上进行碳化、活化处理,速度为2m/min,入口、出口温度分别为500e、900e,温度呈阶梯状提高。在碳化、活化过程中,采用水蒸气保护,防止材

料氧化。活化后的ACF材料,面密度约为140g/m²

。用ZPG-400B电弧喷涂机(上海产)在电弧作用下将纯铝丝融化,利用高速压缩空气将熔化的铝均匀喷涂约0.3mm厚在ACF的表面。

1.2电容器的组装

将喷涂铝的ACF裁切为229cm×14cm的电极。将20Lm厚的铝箔(河北产,93%)裁切为229cm×14cm作为集流体,并在其上点焊10对0.1mm厚、10mm宽的铝箔引流条。在30Lm厚的纤维素纸隔膜(TF-4030,日本产)两侧放置ACF,附着的铝层朝外,在ACF两端最外侧放置铝箔集流体并反复折叠,形成尺寸为53mm×57mm×145mm的内芯。将内芯整形后装入铝制外壳(浙江产,牌号为1050)中,正、负引流条焊接到铝制引出端子上,在端子上套上弹性橡胶密封圈(河北产),并紧固到铝制上盖的上面,最后用氩弧焊将上盖和外壳密封焊接,形成未注液的电容器。未注液的电容器在120e下真空(真空度为100Pa,下同)干燥6d,再在手套箱中真空注入240ml电解液1mol/LTEA-BF4/AN(苏州产,99.9%),最后在注液孔处拧紧注液密封螺丝。

实验用电容器的基本设计参数为:额定电压217V,额定电容2400F,直流内阻小于1m8,质量600g,尺寸56mm×60 mm×160mm。

1.3性能测试

用Sorptmatic- 比表面积测试仪(意大利产)对ACF材料进行分析;用JSM-6390扫描电镜(日本产)分析ACF的元素含量

链接:www.china-nengyuan.com/tech/95484.html

来源:新能源网 china-nengyuan.com

和形貌。

用BT2000/164787-T恒流电化学充放电测试仪(美国产)对电容器进行直流充放电实验(电流I为100A,电压为0~217V),测量电容器的电容C和直流内阻R,并计算比能量、比功率。相关公式见式(1)-(4)。

$$C = \Delta Q / \Delta U = I^{\bullet} \Delta t / \Delta U \tag{1}$$

$$R = \Delta U_1/(2I) \tag{2}$$

比能量 =
$$(C \cdot U^2/2)/(3600/m)$$
 (3)

比功率 =
$$(U^2/4R)/m$$
 (4)

式(1) – (4) 中: ΔQ 为电量差; ΔU 为放电过程的电压差; Δt 为 ΔU 对应的时间差; ΔU_1 为放电开始 10 ms 后的电压降; U 为电容器的额定电压; m 为电容器的质量。

用JD(J)S-100高低温环境实验箱(北京产)和充放电测试仪对电容器进行高低温性能测试。从-40e开始,每提高10e为1个温度点,测量电容器的电容和直流内阻,一直测试到70e。测试电流为100A,电压为0~2170V。

在DYG-100鼓风干燥箱(湖南产)中进行高温加速寿命测试。电容器在不同温度下的循环寿命差别很大,一般温度越低,寿命越长。在高温70e时的寿命衰减是最大值,为此,可在70e下进行加载额定电压的加速寿命实验,时间为1008h:电容器在额定电压下保持浮充状态,升温到70e,每168h测量电容器的电容和直流内阻,最后分析变化情况。

可用松下公司经验公式式(5)计算电容器在某一温度下的使用寿命,在温度H时,经过时间tH,电容器电容和直流内阻的变化值等同于高温70e、1008h时的变化值。

$$t_{\theta} = 1\ 008 \times 2^{(70-\theta)/10}$$
 (5)

如 θ= 10 ℃时, 计算的寿命为 64 512 h, 约 7. 36 a。

以 25 A 的电流将电容器充电至额定电压 2 70 V, 然后以 25 A 恒流放电至 1.35 V, 再恒压保持 5 s。上述步骤为一个完整的充放电循环。循环寿命实验为不断重复上述循环, 每5 000次为 1 组, 测试 10 组, 共计 50 000 次。结束后, 以 100 A 的电流在 0~ 2 70 V 测试电容器的电容和直流内阻。

2结果与讨论

2.1电极材料的分析

经测试,制备的ACF的BET比表面积达 $1690m^2$ /g,平均孔径为1.35nm,总孔容积为 $0.8346cm^3$ /g,微孔容积为 $0.6589cm^3$ /g。

制备的ACF中,C、P及O元素的含量分别为95.49%、3.86%和0.65%。C的含量大于95%,P和O的含量很少,说明电极的纯度高。

制备的ACF以及喷涂铝后的SEM图如图1所示。

链接:www.china-nengyuan.com/tech/95484.html

来源:新能源网 china-nengyuan.com

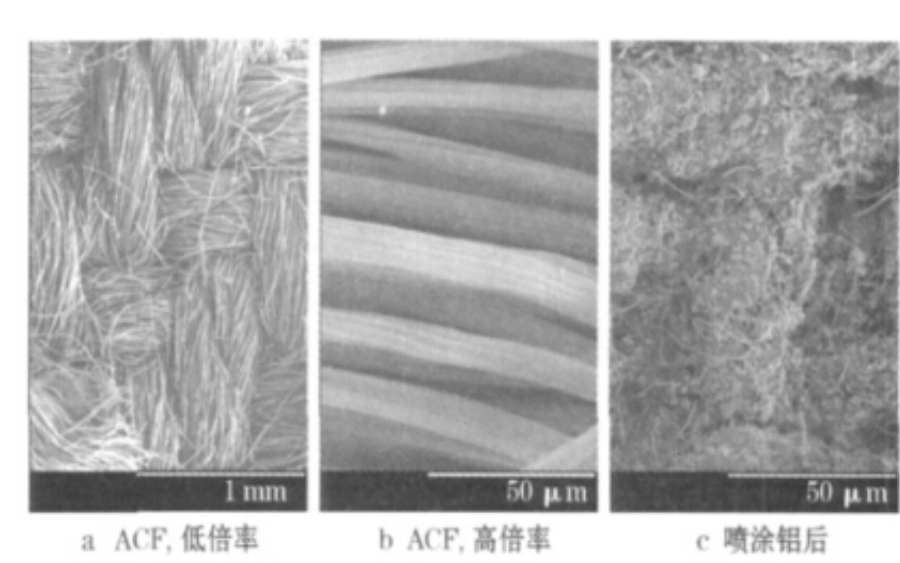


图 1 制备的 ACF 以及喷涂铝后的 SEM 图

Fig. 1 SEM photographs of the prepared ACF and the ACF

sprayed with Al

从图1a可看出,多根粘胶纤维经纺线和织布工序,再经过碳化、活化后的形貌,每根线由多根纤维拧接缠绕组成, 多根线编制成布;从图1b可清晰地看到单根ACF丝。

从图1c可看出,熔融的铝均匀覆盖ACF的一侧,虽然会堵住部分ACF上的孔洞,但铝的存在极大地增强了电极的导电性,降低了电容器的直流内阻。

2.2电容器的恒流充放电特性

制备的电容器的首次充放电曲线见图2。

从图2可知,电容器的充放电曲线近似于对称三角形分布;充放电曲线均近似于直线,表明电极反应的可逆性很好。

在充放电流为100A时,电容器的实测电容为2500F,直流内阻仅为016m ,比能量为4.22Wh/kg,峰值比功率为7.23 kW/kg。

链接:www.china-nengyuan.com/tech/95484.html

来源:新能源网 china-nengyuan.com

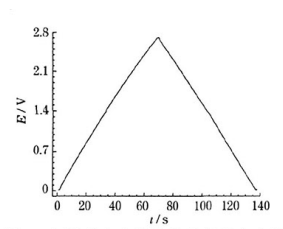


图 2 制备的电容器的首次充放电曲线

Fig. 2 Initial charge discharge curves of prepared capacitor

2.3 超级电容器的温度和高温加速寿命特性

制备的电容器电容和直流内阻随温度的变化见图 3a;在 额定电压、高温 70 ℃下 1 008 h 储存过程中电容和直流内阻 的变化见图 3b。

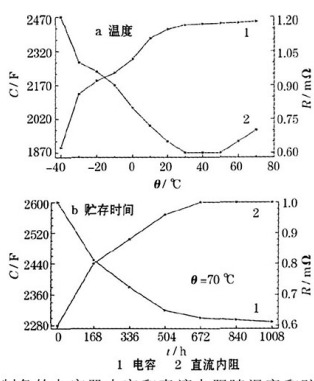


图 3 制备的电容器电容和直流内阻随温度和贮存时间的 变化

 $Fig. \ 3 \quad Change \ of \ capacitance \ and \ DC \ internal \ resistance \ with \\ temperature \ and \ storage \ time \ of \ prepared \ capacitor$

从图 3a 可知, 电容随着温度的升高逐步提高, 在— $40\,$ ℃ 时, 电容比常温时衰减 24%, 在高温 $70\,$ ℃时, 电容变化不大。直流内阻在低温时上升明显, 在高温时有所上升, 但不明显, 在— $40\,$ ℃时, 直流内阻比常温时上升 100%, 在高温 $70\,$ ℃时, 直流内阻仅上升 3%, 变化不大。这是因为在低温时, 电解液中电解质 $TEABF_4$ 的溶解度变 1

从图 3b 电容变化的曲线可看出,整体上电容随时间的延长而衰减,在最初的 168 h 下降明显,而后趋于平缓。这是由于原始的 ACF 材料表面含有一定数量的磷和氧的偏磷酸盐和表面官能团,在高温加电的情况下会逐步分解,官能团上的伪电容会在前 168 h 消失。从直流内阻变化的曲线可看出,随着时间的延长,直流内阻不断缓慢变大。这种变化的原因是电解液中的 BF₄"具有极强的腐蚀性,会随着充放电的进行不断侵蚀阳极炭,造成炭的逐步失效,炭的表面活性下降,导电性减弱,电容衰减的同时内阻也增大^[5]。从整体上看,电容降低了 10%、直流内阻升高 7 60%,比一般规定的电容降低 20%、直流内阻升高 100% 要好些。

2.4 超级电容器的循环寿命特性测试

制备的电容器以 25 A 的电流循环 50 000 次, 电容和直流内阻的变化见图 4。

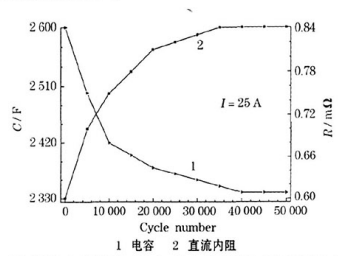


图 4 制备的电容器以 25 A 的电流循环 50 000 次的电容和 直流内阻变化

Fig. 4 Change of capacitance and DC internal resistance of prepared capacitor during the 50 000 cycles with the current of 25 Δ

从图 8 可知, 经过 50 000 次的循环, 制备的电容器的电容降低了 10%、直流内阻升高了 30%。



链接:www.china-nengyuan.com/tech/95484.html

来源:新能源网 china-nengyuan.com

3结论

通过优化粘胶纤维的碳化、活化及喷涂铝工艺处理,制备了可用于商用超级电容器的电极材料。

材料的比表面积由普通市场上的1300m2/g左右提高到1 690m²/g,C元素含量由不足90%提高到95.49%,从而提高了电容器的比能量和比功率。

制备的超级电容器的直流内阻还有降低的可能,可考虑对较薄的粘胶纤维布进行工艺优化,进一步降低阻抗。

原文地址: http://www.china-nengyuan.com/tech/95484.html